

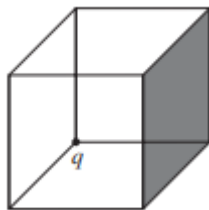
# Foice - Eletrostática 1.0

Vinícius Ferreira

2019

## 1 Pense grande

Uma carga  $q$  fica no canto traseiro de um cubo, como mostra a Figura. Qual é o fluxo de  $\vec{E}$  através do lado sombreado?

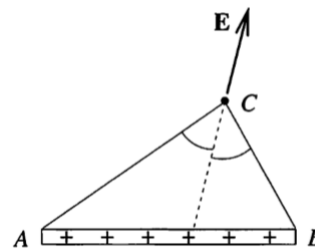


## 2 Paradoxo da casquinha de sorvete

Prove que o campo elétrico tende ao infinito/indeterminado exatamente na ponta de um cone oco (casquinha de sorvete) uniformemente carregado, mas não no mesmo ponto só que para um cone preenchido.

## 3 O que é, o que é

Há uma barra carregada com uma distribuição uniforme de cargas. Mostre que em um ponto arbitrário, o campo elétrico aponta na direção da bissetriz do ângulo ACB. Então, determine o formato das superfícies equipotenciais desse caso.



## 4 c.q.d

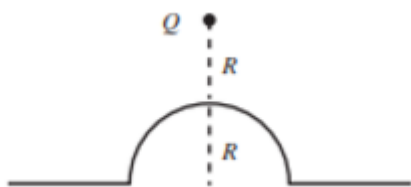
O primeiro teorema de unicidade para a eletrostática diz que a solução para a equação de Laplace,  $\nabla^2 V = 0$ , é exclusivamente determinada se  $V$  for especificado numa superfície  $S$ . Porém o mesmo se aplica se a densidade de carga em toda a região e o valor de  $V$  em todos os contornos forem especificados ( $\nabla^2 V = -\frac{\rho}{\epsilon}$ ). Prove tal teorema.

## 5 Evite ser corno

Uma carga pontual  $q$  de massa  $m$  é liberada do repouso a uma distância  $d$  de um plano condutor infinito aterrado. Quanto tempo a carga irá demorar para atingir o plano?

## 6 Uma leve diferença

Um plano condutor infinito tem um ressalto hemisférico nele de raio  $R$ . Uma carga pontual  $Q$  está localizada a uma distância  $R$  acima do topo hemisférico, como mostra a Figura. Encontre a força sentida pela carga  $Q$ .



## 7 Nem tudo é uniforme

Demonstre que a distribuição de cargas induzidas em uma esfera condutora em um campo elétrico  $E_0$  uniforme é  $\sigma = 3\epsilon_0 \cdot E_0 \cdot \cos\theta$ , onde  $\theta$  é o ângulo polar.

## 8 Nada demais por aqui

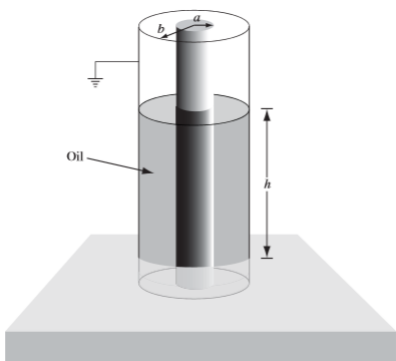
Encontre o campo elétrico interno produzido por uma esfera uniformemente polarizada de raio  $R$  e vetor Polarização  $\vec{P}$ .

## 9 Campo interno

Determine o campo interno total de uma esfera dielétrica de raio  $R$  e permissividade  $\epsilon$  imersa num campo uniforme  $\vec{E}_0$

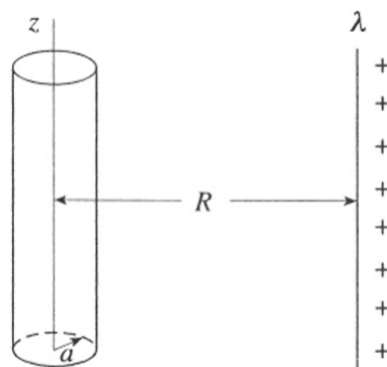
## 10 Seria isso mágica?

Dois tubos cilíndricos metálicos coaxiais longos (raio interno  $a$ , raio externo  $b$ ) ficam na vertical em um tanque de óleo dielétrico (susceptibilidade  $\chi_e$ , densidade de massa  $\rho$ ). A interna é mantida no potencial  $V$  e a externa é aterrada. A que altura ( $h$ ) o óleo se eleva, no espaço entre os tubos?



## 11 Longo e cilíndrico

Um cilindro oco longo, de paredes finas, condutor perfeito é orientado ao longo do eixo  $z$  conforme mostrado na Figura. Um fio longo e fino, portador de uma densidade de carga linear uniforme  $\lambda$ , corre paralelo ao cilindro, a uma distância  $R$  do centro. Encontre o potencial elétrico no plano  $xy$ .



## 12 RC

Considere um capacitor de capacitância  $C$  imerso em um meio com resistividade  $\rho$ . Quando foi usado um ohmímetro para medir a resistência entre os terminais, a medição foi  $R$ . Mostre que, independentemente da geometria,  $RC = \rho \cdot \epsilon$ .

## 13 $\rho\rho\rho$

Uma figura de chocolate do Papai Noel, embrulhada em papel alumínio, é carregada eletricamente e fica pendurada em um cordão isolante. A figura perde lentamente sua carga porque o ar possui uma condutividade pequena, mas diferente de zero  $\sigma$ . Supondo que a condutividade do ar seja a mesma em todos os lugares, quanto tempo levará a carga do Papai Noel pela metade?

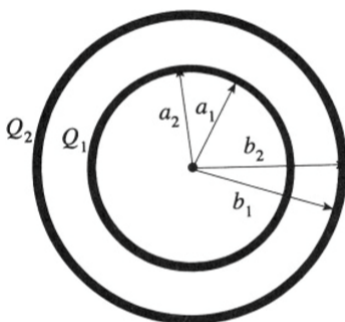


## 14 Analogia Hidrodinâmica

Num líquido incompressível ( $\nabla \cdot \vec{v} = 0$ ) e sob regime irrotacional ( $\nabla \times \vec{v} = 0$ ), faz-se movimentar uma esfera de raio  $R$ . Para determinar o campo de velocidades do líquido, podemos recorrer a uma analogia com um caso mais conhecido na eletrostática, já que tanto  $\vec{v}$  quanto  $\vec{E}$  obedecem as mesmas equações. Sabendo disso, idealize um caso eletrostático simples que respeite as mesmas condições de contorno do caso hidrodinâmico e, assim, determine  $\vec{v}(r, \theta)$ .

## 15 Capacitor esférico

Considere duas esferas de metal concêntricas de espessura finita no vácuo. A esfera interna possui raios  $a_1 < a_2$ . A esfera externa possui raios  $b_1 < b_2$ .



a) Uma carga  $Q_1$  é colocada na esfera interna e uma carga  $Q_2$  na esfera externa. Encontre a densidade de carga em cada uma das quatro superfícies. Se  $Q_2 = -Q_1$  qual é a capacitância mútua do sistema?

b) Se o espaço entre as esferas é preenchido com material isolante de constante dielétrica  $\epsilon$ , quais são as densidades de carga superficial e as densidades de carga superficial de polarização para  $Q_1$  e  $Q_2$  arbitrários e capacitância mútua para  $Q_2 = -Q_1$ ?

## 16 Prótons infinitos

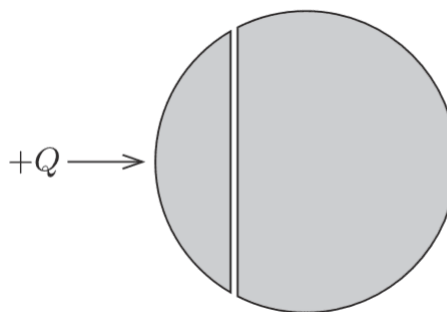
Um acelerador produz prótons de carga  $e$  e energia cinética  $K$ , sem parar. Um no feixe de prótons é apontado em direção à esfera condutora de raio  $R$  e distando  $d$  do eixo do centro, porém vindos do infinito. Calcule o potencial da esfera depois de um tempo muito grande.

## Eletro-



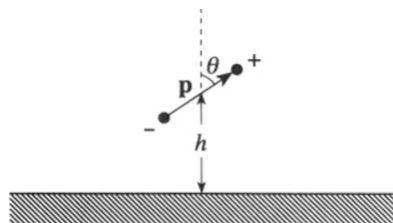
## 17 13+4 anos

Considere a situação ilustrada, em que somente a calota da esquerda recebe a carga  $Q$  e a parte da direita é neutra. As duas partes são separadas por uma distância bem pequena e a esfera condutora inteira possui raio  $R$ . Considere que a "altura" da calota da esquerda é  $h$ . Calcule a força de interação entre as duas partes.



## 18 Dipolo imagem

Um dipolo elétrico de momento  $\vec{p}$  é colocado a uma altura  $h$  acima de um plano metálico aterrado e faz um ângulo  $\theta$  em relação à normal desse plano.

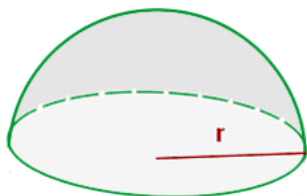


a) Calcule os módulos e as direções da força e do torque sentidos pelo dipolo.

b) Calcule o trabalho necessário para levar o dipolo ao infinito

## 19 Metade do trivial

Prove que a superfície plana de uma casca hemisférica carregada é uma equipotencial.



## 20 Essa é a que você pula

Quando um corpo se move em um líquido, o movimento do corpo coloca o líquido em movimento também. O movimento do líquido contribui para a energia cinética total do sistema e, portanto, leva a um aumento da massa efetiva do corpo. A diferença da massa efetiva e da massa real do corpo é referida como a massa adicional. A massa adicional depende do tamanho e forma do corpo. Considere um certo corpo metálico de volume  $V$  e polarizabilidade  $\alpha$  ao longo do seu eixo de simetria  $x$  (isto é, um campo elétrico homogêneo aplicado externamente  $\vec{E}$  induz o momento dipolar total  $\vec{p} = \alpha\vec{E}$  neste corpo). Além disso, a forma do corpo é tal que, se fosse feita de um material dielétrico homogêneo e colocado em um campo elétrico homogêneo, o campo elétrico dentro do corpo também seria homogêneo. Encontre a massa adicional deste corpo quando ele começar movendo-se translacionalmente, paralelamente ao eixo  $x$ , num líquido incompressível inicialmente imóvel de densidade  $\rho$ . A viscosidade do líquido é insignificante. Expresse a resposta em termos de  $V$ ,  $\rho$ ,  $\alpha$  e constantes físicas. Dica: Inicialmente, o líquido invíscido sem vórtices permanece livre de vórtices, isto é,  $\oint \vec{v} \cdot d\vec{r} = 0$  para qualquer contorno de integração dentro do líquido, onde  $\vec{v} = \vec{v}(\vec{r}, t)$  é a velocidade do fluido na posição  $\vec{r}$ ;  $t$  indica um momento fixo de tempo.

## Gabarito

- 1)  $\phi = \frac{q}{24\epsilon_0}$
- 2) Demonstração
- 3) Demonstração. As superfícies equipotenciais são elipses com focos em A e B.
- 4) Demonstração
- 5)  $T = \pi \sqrt{\frac{2\pi\epsilon_0 d^3 m}{q^2}}$

$$6) F = \frac{737kq^2}{3600R^2}$$

7) Demonstração

$$8) \vec{E}_{in} = \frac{\vec{P}}{3\epsilon_0}$$

$$9) \vec{E}_{in} = \frac{3\epsilon_0}{\epsilon + 2\epsilon_0} \cdot \vec{E}_0$$

$$10) h = \frac{\epsilon_0(1+\chi_e)V^2}{\rho(b^2-a^2)g \ln(\frac{b}{a})}$$

$$11) V = \frac{\lambda}{2\pi\epsilon_0} \ln\left(\frac{|\vec{r}-\vec{R}|}{|\vec{r}-\vec{d}|\right); |\vec{d}| = \frac{a^2}{R}$$

12) Demonstração

$$13) t = \frac{\epsilon_0}{\sigma} \ln 2$$

$$14) \vec{v} = \frac{v_0 R^3}{2r^3} (2\cos\theta \hat{r} + \sin\theta \hat{\theta})$$

$$15) a) \sigma_1 = 0; \sigma_2 = \frac{Q_1}{4\pi a^2}; \sigma_3 = \frac{-Q_1}{4\pi b^2}; \sigma_4 =$$

$$\frac{Q_1+Q_2}{4\pi b^2}; C = \frac{4\pi\epsilon_0 ab}{b-a}$$

$$b) \sigma_{1p} = 0; \sigma_{2pe3p} = -\sigma_{2e3} \frac{\epsilon - \epsilon_0}{\epsilon}; \sigma_{4p} = 0; C_\epsilon = C \frac{\epsilon}{\epsilon_0}$$

$$16) V = K(1 - \frac{d^2}{R^2})$$

$$17) F = \frac{Q^2(2R-h)(4R^2-h^2)}{32\pi\epsilon_0 h R^2}$$

$$18) a) \vec{F} = \nabla(\vec{p} \cdot \vec{E}); \vec{N} = \vec{p} \times \vec{E}$$

$$b) W = \frac{(1+\cos^2(\theta))p^2}{16h^3}$$

19) Demonstração

$$20) \Delta m = \frac{\rho V}{\epsilon_0 V - 1}$$